

In Vitro Evaluation of the Effects of *Astragalus brachycalyx* Fisch. Root Methanolic Extract on B16-F10 Cells in Relation to Its Phytochemical Properties

Fatemeh Akbari¹,
Mohammad Azadbakht²,
Fatemeh Ebrahimi³,
Zahra Mahdizadeh⁴,
Ali Bagheri⁵,
Setayesh Razavi⁶

¹ Assistant Professor, Department of Pharmacognosy, School of Pharmacy, Semnan University of Medical Sciences, Semnan, Iran

² Professor, Department of Pharmacognosy, Faculty of Pharmacy, Mazandaran University of Medical Sciences, Sari, Iran

³ PhD in Radiopharmacy, Faculty of Pharmacy, Mazandaran University of Medical Sciences, Sari, Iran

⁴ Pharmacy Student, Student Research Committee, Faculty of Pharmacy, Mazandaran University of Medical Sciences, Sari, Iran

⁵ Professor, Department of Plant and Animal Biology, Faculty of Biological Science and Technology, University of Isfahan, Isfahan, Iran

⁶ Student Research Committee, School of Pharmacy, Semnan University of Medical Sciences, Semnan, Iran

(Received July 27, 2024; Accepted July 2, 2025)

Abstract

Background and purpose: Skin cancer is a highly prevalent disease, affecting approximately 1 in 33 individuals with fair skin. Melanoma, one of the most aggressive forms of skin cancer, arises from melanin-producing cells known as melanocytes. This study aims to investigate the effect of *Astragalus brachycalyx* on melanoma cells in vitro, with a particular focus on its phytochemical properties.

Materials and methods: In this experimental study, the methanolic root extract was prepared using the maceration method, and total flavonoid content was determined by the aluminum chloride colorimetric method. Genistein content was quantified using high-performance liquid chromatography (HPLC). To evaluate the effect of the extract, a scratch assay was performed on B16-F10 cells. Extract concentrations of 125, 62.5, 32.5, and 16.5 ppm were tested in separate culture media and compared with media lacking the extract (control group). Data were analyzed using a two-way mixed-model ANOVA, and multiple comparisons were performed using Bonferroni post hoc analysis. A P-value < 0.05 was considered statistically significant.

Results: The total flavonoid content of *Astragalus brachycalyx* root was 0.0454 g per gram of root, and the genistein content in the plant powder was 1.1%. Treatment of B16-F10 cells with 500 ppm of the methanolic extract resulted in significant cell death within 24 hours ($P < 0.001$). Additionally, the extract at 125 ppm caused a significant increase in scratch area ($P < 0.0001$), indicating inhibition of cell growth compared to the control group ($P < 0.001$).

Conclusion: The in vitro results demonstrate that *Astragalus brachycalyx* exhibits rapid and potent cytotoxic effects on B16-F10 melanoma cells.

Keywords: *Astragalus*, Inhibition of cancer cells, Cell death, B16-F10

J Mazandaran Univ Med Sci 2025; 35 (248): 74-81 (Persian).

Corresponding Author: Mohammad Azadbakht - Faculty of Pharmacy, Mazandaran University of Medical Sciences, Sari, Iran.(E-mail: azadbakhtm@hotmail.com)

ارزیابی برون تنی اثر عصاره متانولی ریشه *Astragalus brachycalyx Fisch* بر سلول های B16-F10 بر اساس خصوصیات فیتوشیمیایی

فاطمه اکبری^۱

محمد آزادبخت^۲

فاطمه ابراهیمی^۳

زهره مهدی زاده^۴

علی باقری^۵

ستایش رضوی^۶

چکیده

سابقه و هدف: سرطان پوست یکی از بیماری‌ها با شیوع بالا است که میزان ریسک ابتلا به آن یک نفر در هر ۳۳ نفر با پوست سفید است. ملاتوما یکی از خطرناک‌ترین سرطان‌های پوست است و از تغییرات سلول‌های تولید‌کننده ملانین ایجاد می‌شود. این مطالعه اثر *Astragalus brachycalyx* را بر سلول‌های سرطانی ملاتوما در شرایط برون تنی با تمرکز بر خصوصیات فیتوشیمیایی بررسی می‌کند.

مواد و روش‌ها: در مطالعه تجربی حاضر، عصاره متانولی ریشه با روش ماسرسیون تهیه شد و میزان فلاونوئید تمام با روش رنگ سنجی کلرید آلمینیوم و میزان ژنیستین با HPLC، اندازه گیری شد. برای ارزیابی اثر عصاره، تست خراش بر سلول‌های B16-F10 انجام شد و غلظت‌های ۱۲۵، ۶۲/۵، ۳۲/۲۵ ppm از عصاره در محیط‌های کشت جداگانه بررسی و با محیط‌های کشت فاقد عصاره (گروه کنترل) مقایسه شدند. داده‌ها با استفاده از مدل مخلوط دو طرفه‌ی ANOVA مورد بررسی قرار گرفت. مقایسه چندگانه توسط تحلیل تعقیبی Bonferroni انجام شد. P کمتر از ۰/۰۵ از نظر آماری معنی دار در نظر گرفته شد.

یافته‌ها: مقدار فلاونوئید تمام ۰/۴۵۴ گرم در هر ۱ گرم ریشه *Astragalus brachycalyx* بود. میزان ژنیستین ۱/۱ درصد در پودر گیاه بود. تغییرات مساحت خراش با غلظت ۵۰۰ ppm از عصاره متانولی ریشه *Astragalus brachycalyx* در ردۀ سلولی B16-F10 طی ۲۴ ساعت به طور معنی‌داری مرگ سلولی را نشان داد ($P < 0/001$). همچنین عصاره با غلظت ۱۲۵ ppm افزایش قابل توجه در مساحت خراش‌ها (با محدود کردن رشد سلولی) را در مقایسه با گروه کنترل نشان داد ($P < 0/001$).

استنتاج: براساس نتایج برون تنی *Astragalus brachycalyx* دارای سمیت بالا و اثر سریع بر B16-F10 است.

واژه‌های کلیدی: *Astragalus brachycalyx*، مهار رشد سلول سرطانی، مرگ سلولی، B16-F10

E-mail: azadbakhtm@hotmail.com

مؤلف مسئول: محمد آزادبخت - ساری کیلومتر ۱۷ جاده فرح آباد، مجتمع دانشگاهی پیامبر اعظم، دانشکده داروسازی

۱. استادیار، گروه فارماکوگنوژی، دانشکده داروسازی، دانشگاه علوم پزشکی سمنان، سمنان، ایران

۲. استاد، گروه فارماکوگنوژی، دانشکده داروسازی، دانشگاه علوم پزشکی مازندران، ساری، ایران

۳. دکترای تخصصی، گروه رادیوفارماسی، دانشکده داروسازی، دانشگاه علوم پزشکی مازندران، ساری، ایران

۴. دانشجو کمیته تحقیقات دانشجویی، داروسازی، دانشکده داروسازی، دانشگاه علوم پزشکی مازندران، ساری، ایران

۵. استاد، گروه بیولوژی گیاهی و جانوری، دانشکده داروسازی، دانشگاه علوم زیستی و فناوری، دانشگاه اصفهان، اصفهان، ایران

۶. دانشجو کمیته تحقیقات دانشجویی دانشکده داروسازی، دانشگاه علوم پزشکی سمنان، سمنان، ایران

تاریخ دریافت: ۱۴۰۴/۴/۶ تاریخ ارجاع جهت اصلاحات: ۱۴۰۴/۵/۲۳ تاریخ تصویب: ۱۴۰۴/۵/۱۱

مقدمه

کنده حیات است. عدم پاسخ به پرتو درمانی و شیمی درمانی، نیاز جدی به درمان‌های جدید را برجسته می‌کند. *Astragalus brachycalyx* Fisch (A. *brachycalyx*) بر رده سلولی B16-F10 ارزیابی شد. این گیاه متعلق به خانواده *Astragalus* است که یکی از بزرگ‌ترین گونه‌های پراکنده در سراسر جهان است و حدود ۸ درصد پوشش گیاهی ایران را گونه‌های گون تشکیل داده‌اند^(۷). عمدۀ ترکیبات موجود در ریشه آن شامل پلی ساکارید، ساپوینین و فلاونوئیدها به خصوص ایزو فلاونوئید‌ها می‌باشد و از ریشه آن به طور سنتی برای درمان بسیاری از بیماری‌ها و شرایطی نظری درمان اختلالات ایمنی، عفونت‌های ویروسی، لوسی، نفрит و سرطان رحم کمک کننده هستند^(۷-۹). هدف این مطالعه بررسی اثر (A. *brachycalyx*) بر رده سلولی B16-F10 با تست خراش سلولی است.

مواد و روش‌ها

مطالعه تجربی حاضر با کد اخلاق IR.MAZUMS. REC.1400.330 به بررسی اثر مهار رشد و مرگ سلولی عصاره گیاه *A. brachycalyx* بر سلول‌های ملانوما موشی B16-F10 پرداخت.

جمع آوری و عصاره‌گیری از گیاه گیاهان از مناطق رشد این گونه گیاهی در بخش‌های غربی استان اصفهان، کوههای اطراف چغیورت (عرض جغرافیایی ۵۸°۳۲' شمالی، طول جغرافیایی ۵۰°۱۰' شرقی) جمع آوری و توسط متخصص سیتماتیک گیاهی و با مطالعات مربوطه شناسایی شدند. نمونه‌های هرباریومی تهیه در هرباریوم دانشگاه اصفهان (HUI) نگهداری شدند. عصاره گیری با ۵۰۰ گرم ریشه (A. *brachycalyx*) با روش خیساندن با میانول خالص در دمای محیط به مدت ۳ روز استخراج شد و عصاره تحت خلاء با روتاری اوپریتور و سپس دستگاه فریز داریس خشک گردید. عصاره در ظرفی قرار داده شد و در فریزر -۳۰ درجه سانتی گراد نگهداری شد^(۷).

سرطان پوست یکی از بیماری‌های شایع است که به طور مستقیم بر کیفیت زندگی جامعه تأثیر می‌گذارد. تمام لایه‌های پوست می‌توانند به سلول‌های سرطانی تبدیل شوند^(۱). ملانوما نوعی سرطان است که از سلول‌های مشتق از سینه عصبی تولید کننده ملانین و ملانوسيت‌ها آغاز می‌شود و یکی از انواع جدی سرطان پوست است^(۲). ملانوما در اشکال، رنگ‌ها و اندازه‌های مختلفی ظاهر می‌شود که هشداری بر وجود ملانوما هستند^(۳). درصد ابتلا به سرطان پوست در ایران ۱۳/۱ درصد است. ولی این سرطان هم چنان شایع ترین سرطان کشور می‌باشد. میزان بروز آن در زنان و مردان به ترتیب برابر ۶۵/۹ و ۵۹/۱ است^(۴).

در سال ۹۹/۷۸۰، ۲۰۲۲ مورد جدید ملانوما در ایالات متحده آمریکا تشخیص داده شد که ۵۷/۳ درصد مردان و ۴۲/۶۹ درصد زنان بودند و از این میزان در جمعیت حدود ۷/۶۶ درصد احتمال مرگ وجود دارد (۶۶/۴۰ درصد مردان و ۳۳/۵۹ درصد زنان)^(۵). علاوه بر آن، تقریباً ۹۸ درصد از موارد مبتلا در صورت تشخیص زود هنگام ملانوما، شانس دیدن ۵ سال آینده خود را دارند. عوامل خطر ایجاد ملانوما شامل ژنتیک، قرار گرفتن در معرض آفتاب، تابش UV و فاکتورهای خانوادگی و وراثتی است. هم‌چنین، میزان بروز سرطان پوست در نزد سفیدپوست (غربی) بسیار بیشتر از انواع دیگر رنگ پوست است. درمان ملانوما به عوامل مختلفی از جمله مرحله بیماری و محل سلول‌های سرطانی بستگی دارد و شامل جراحی، ایمنوتراپی، شیمی درمانی و پرتو درمانی است.

رده سلولی B16-F10 یک رده سلولی ملانومای موشی است که برای بررسی مدل ملانومای متاستاتیک استفاده می‌شود. از نظر مورفولوژیکی، این رده سلولی دوکی شکل است و در محیط کشت سلولی به صورت یک جمعیت چسبنده با مورفولوژی اپیتلیالی ظاهر می‌شود^(۶). ملانومای متاستاتیک یک بیماری تهدید

شد(۱۴،۱۳). سلول‌های B16-F10 در ۶ چاهه‌ک از پلیت‌های ۱۲ چاهه‌کی، در شرایط ذکر شده، کشت داده شدند تا از سلول‌ها بافت یک لایه و یکواخت در هر پلیت ایجاد شود. پس از چسبندگی سلول‌ها به پلیت، محیط کشت از چاهه‌ک حذف شد و یک خراش مرکزی با نوک میکروپیپت p ۲۰۰ ایجاد شد. پس از خراشیدن، چاهه‌ک‌ها با PBS شستشو داده شدند تا سلول‌های غیر چسبنده و باقی مانده سلول‌ها حذف شوند. غلظت‌های چسبنده در *Astragalus* عصاره ppm ۱۶/۵، ۳۲/۲۵، ۶/۲/۵ در RPMI-1640 حل و به چاهه‌ک‌ها اضافه شدند. در گروه کنترل تنها محیط کشت RPMI-1640 مورد استفاده قرار گرفت. پلیت‌ها در دمای ۳۷ درجه (۵ درصد CO₂) انکوبه شدند و به کمک میکروسکوب در ابتدای آزمایش (۰، ۲، ۴ و ۶ ساعت از شروع آزمایش با میکروسکوب مورد ارزیابی قرار گرفتند. مرگ و میر، تغییر ظاهر سلول و خراش مورد بررسی قرار گرفتند(۱۳). مساحت خراش به وسیله نرم افزار IC meseure ورژن ۰.۵۰۳۲ اندازه‌گیری شد.

داده‌ها با استفاده از نرم افزار GraphPad Prism (نسخه ۵/۰۱) تجزیه و تحلیل شد. داده‌های گروه‌های مختلف با استفاده از مدل مخلوط دو طرفه (two-way mixed-model ANOVA) قرار گرفت. مقایسه چندگانه توسط تحلیل تعییبی Bonferroni انجام شد. داده‌ها به عنوان میانگین ± انحراف معیار ارائه شد و P کمتر از ۰/۰۵ از نظر آماری معنی دار در نظر گرفته شد.

یافته‌ها و بحث

مطالعه حاضر به بررسی اثر عصاره A. *brachycalyx* بر سلول‌های B16-F10 به روش خراش سلولی پرداخت و نشان داد که این گیاه می‌تواند موجب مهار رشد و مرگ سلولی شود. ملانوما نوعی سرطان پوست است که از ملانوسیت‌ها توسعه می‌یابد و معمولاً در پوست ظاهر می‌شود، اما می‌تواند به صورت

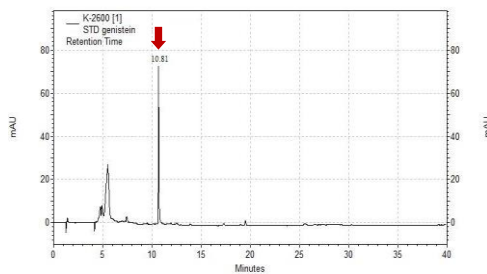
بررسی فیتوشیمیایی گیاهان تعیین فلاونوئید تام برای ارزیابی میزان فلانوئید کل از روش آلمینیوم کلرید استفاده شد. ۱ میلی لیتر از عصاره با ۱ میلی لیتر محلول متانلی ۲ درصد آلمینیوم کلرید مخلوط و به مدت ۱۰ دقیقه در دمای اتاق انکوبه در طول موج ۴۱۵ نانومتر جذب نمونه با دستگاه UV-Visible تعیین شد و براساس کوثرستین بیان شد(۱۰).

آنالیز HPLC ژنیستین در عصاره
تعیین ایزوفلاون‌ها مانند روش مطالعه Akbari انجام شد(۱۱). در این روش، از ستون C18 با ابعاد ۷×۵۳ میلی‌متر استفاده شد. سیستم حلال گرادیان آب-اسید استیک (۱ لیتر آب دیونیزه به همراه ۱,۲ میلی‌لیتر اسید ۲۰ میکرولیتر بود و استونیتریل از ۰ تا ۱۲ درصد در ۶ دقیقه افزوده شد و سپس از ۲۳ درصد به ۱۰۰ درصد در ۱۵ دقیقه افزایش یافت. سرعت جریان حلال‌ها ۲,۵ میلی‌لیتر بر دقیقه در طول موج ۲۸۰ نانومتر با آشکارساز UV تنظیم شد. استاندارد ژنیستین (استاندارد خارجی) و استاندارد مخلوط با عصاره (استاندارد داخلی) به طور جداگانه به سیستم تزریق شدند تا مقدار این ترکیب در گیاه مقایسه و اندازه‌گیری شود.

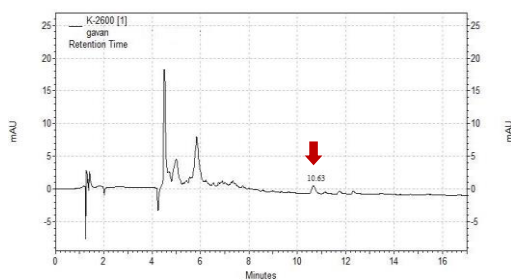
کشت سلولی

برای این منظور رده سلولی B16-F10 در محیط کشت RPMI-1640 با مواد مکمل شامل ۱۰ درصد سرم جنین گاوی، ۱ درصد مخلوط آنتی‌بیوتیک/آنتمایکوتیک، ۰.۰۱ M HEPES و ۰.۰۰۱ M L-glutamine و ۰.۰۰۱ M پیررووات سدیم نگهداری شد. سپس در انکوباتور (در دمای ۳۷ درجه سانتی‌گراد، محیط مرطوب با ۵ درصد CO₂) انکوبه شد(۱۲).

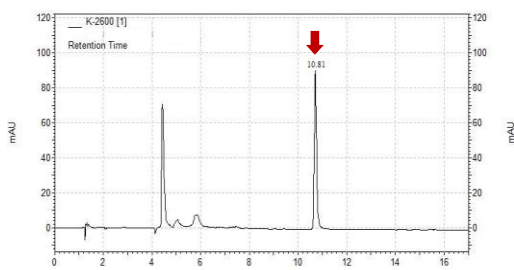
تست تغییرات مساحت خراش
تغییرات مساحت خراش، مهار رشد و مرگ سلولی به روش برون تنبی عصاره با تست ترمیم خراش ارزیابی



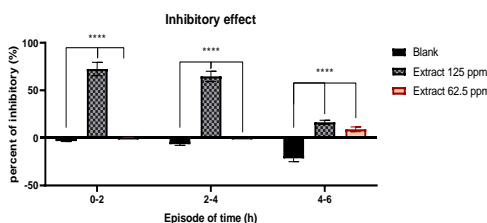
تصویر شماره ۱: آنالیز HPLC برای استاندارد ژنیستین با غلظت ppm ۱۲۵، در آنالیز HPLC انجام شده برای ژنیستین با غلظت ۱۲۵ ppm پیک استاندارد ژنیستین در زمان بازداری ۱۰.۸۱ دقیقه مشاهده می شود.



تصویر شماره ۲: دیاگرام HPLC عصاره با غلظت ۱۰۰ ppm فلش قرمز رنگ محل پیک ژنیستین را در عصاره مشخص می کند.



تصویر شماره ۳: تجزیه و تحلیل HPLC برای مخلوط استاندارد ژنیستین سا عصاره، در نمودار HPLC که از ترکیب استاندارد ژنیستین و عصاره تهیه شده است زمان بازداری ۱۰.۸۱ دقیقه مربوط به پیک ژنیستین می باشد.



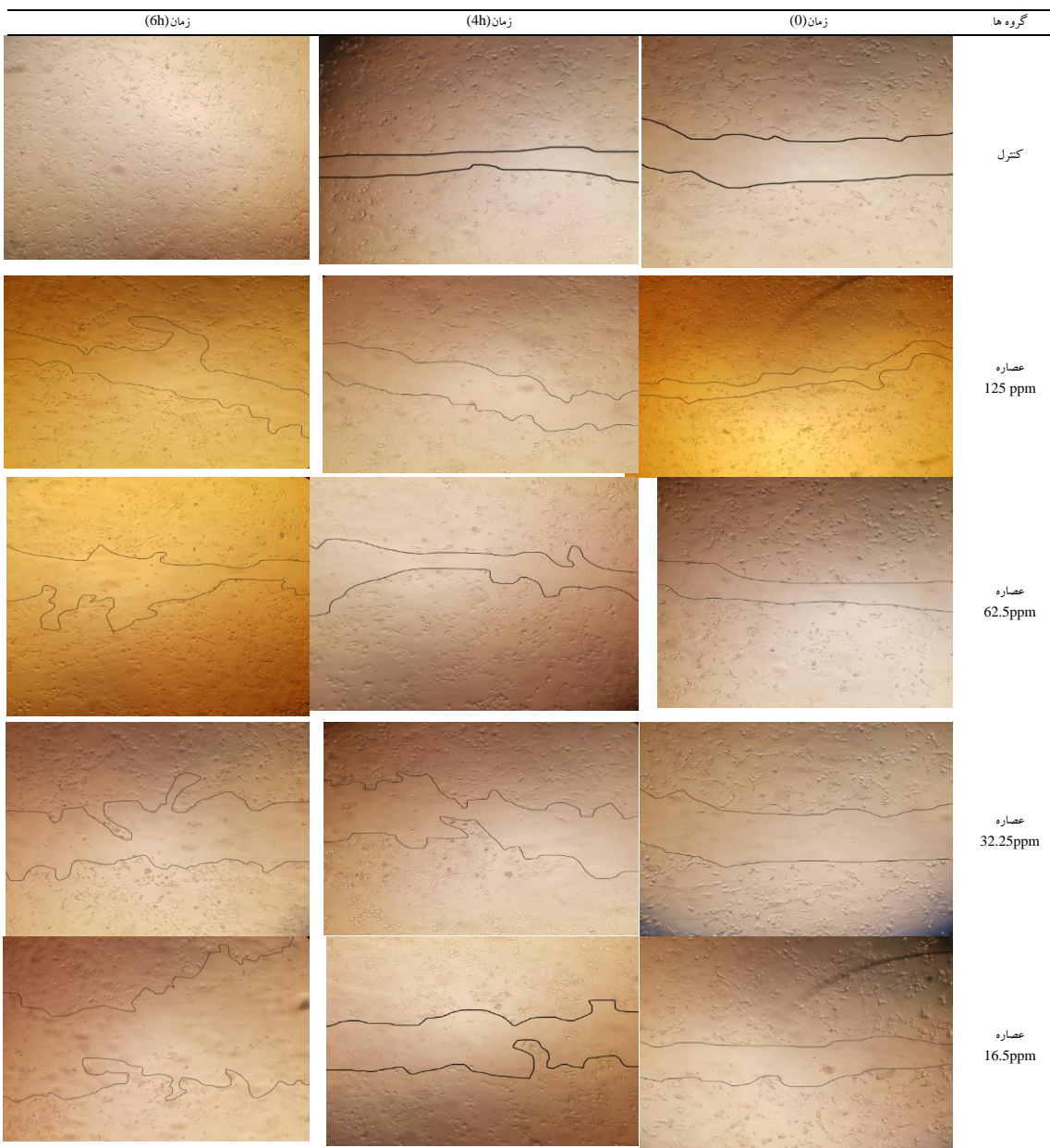
تصویر شماره ۴: درصد مهار رشد سلولی در دو گروه خاص در طی سه بازه زمانی، درصد مهاری: (مساحت زمان دوم - مساحت زمان اول)/ مساحت زمان اول $\times 100 \times < 0.001$ and < 0.0001 vs Control.

غیر عادی در سراسر بدن پراکنده شود. این عارضه تهدید کننده حیات است و ۹۸ درصد از موارد با تشخیص زود هنگام، ۵ سال آینده خود را می بینند. فلاونوئیدها با فعالیت ضد رادیکالهای آزاد، می توانند به طور بالقوه خطر بروز سرطان را کاهش دهند. محققین نشان داده اند که عصاره *Inonotus obliquus* رشد و مهاجرت سلولی B16-F10 را مهار می کند (۱۶، ۱۵). چالکون ها (پیش سازهای فلاونوئیدها و ایزو فلاونوئیدها در مسیر بیوسترن)، بر سرطان های حساس و مقاوم به دارو اثر دارند (۱۷). فلاونوئیدهای استخراج شده از *Glycyrrhiza uralensis* اثرات ضد سرطانی بر سلول های ملانوما نشان داده اند (۱۸). نتایج مطالعه حاضر همسو با مطالعات فوق الذکر بود. آنالیز گیاهی با استفاده از معادله منحنی استاندارد کوئرسنتین ($y = 0.0067x + 0.2365$, $R = 0.9712$)، مقدار بالای محتوای فلاونوئیدی ($A.bachycalyx$ گرم در هر گرم ریشه) را نشان داد.

اگرچه ملانوما سرطان وابسته به هورمون نیست، شواهد ارتباط مستقیم بین هورمون های جنسی (استروژن ها) و ملانوما را اثبات کرده اند (۱۹). ژنیستین یکی از فلاونوئیدهایی است که در این خانواده وجود دارد (۷). هم چنین این ترکیب دارای فعالیت شبه استروژنی است، بر تکثیر سلولی اثر گذار است. در مطالعه حاضر حضور ژنیستین با زمان بازداری ۱۰/۶۳ دقیقه در عصاره ظاهر شده است و میزان آن ۱/۱ درصد) مشخص گردید (تصاویر ۱ و ۲ و ۳). با این وجود این میزان ژنیستین نه تنها باعث تکثیر سلول ها نشد بلکه عصاره موجب مهار رشد سلولی و مرگ سلولی شد. این نشان دهنده تاثیر مهار رشد و مرگ سلول های سرطانی توسط سایر ترکیبات موجود در عصاره بود. (تصویر شماره ۴ و جدول ۱).

روش های متعددی جهت بررسی سمیت سلولی ترکیبات گیاهی وجود دارد، که می توان به سنجش سمیت با روش ارتمیاسالینای پرورشی، زبرافیش، mtt، تست خراش سلولی، اشاره کرد (۲۰-۲۲).

جدول شماره ۱: تصاویر میکروسکوپی ($\times 100$) بسته شدن خراش در گروه های مختلف مورد ازمايش با غلظت های ۱۲۵، ۶۲.۵، ۳۲.۵، ۱۶.۵ و ۸.۵ ppm در زمان های ۰، ۴، ۲۰ و ۶ ساعت از شروع درمان



بیش از عصاره با غلظت ۶۲.۵ ppm بود ($P < 0.05$). گروه ها به غلظت های ۳۲.۵ و ۱۶.۵ ppm نیز افزایش مساحت خراش را نشان دادند، اما این افزایش معنی دار نبود. گروه حاوی عصاره در مقایسه با گروه کنترل در هر بازه زمانی، موجب مهار رشد و مهاجرت سلولی شد (جدول شماره ۱ و تصویر شماره ۵). همچنین تمام محیط ها پس از ۲۴ ساعت مرگ سلولی را نشان دادند. همچنین عصاره با غلظت ۱۲۵ ppm به طور قابل توجهی موجب مهار رشد

مطالعه هی حاضر به بررسی اثر عصاره بـ A. brachycalyx بر سلول های B16-F10 پرداخت و ارزیابی تغییرات مساحت خراش به روش برون تنی نشان داد که عصاره با غلظت ۵۰۰ ppm در مجاورت سلول ها منجر به مرگ سلولی شد. همچنین هردو غلظت ۱۲۵ ppm و ۶۲.۵ به طور قابل توجهی مساحت محدوده خراش را در مقایسه با گروه کنترل افزایش دادند. این افزایش مساحت خراش در محیط با عصاره ۱۲۵ ppm به طور معنی داری

عصاره ریشه (*Astragalus brachycalyx*) با مرگ سلولی، مهار رشد و مهاجرت سلول‌های سرطانی برای پر کردن محدوده خراش بر روی سلول‌های ملاتوما تاثیر می‌گذارد.

سپاسگزاری

این مطالعه با همکاری انتیتو پاستور شمال ایران انجام شد و نویسندهای کمال تشکر را از همکاری پرسنل هر دو مرکز دارند.

سلول‌ها در تمامی بازه زمانی مورد سنجش نسبت به گروه کنترل گروه عصاره با غلظت ۵/۶ ppm بود (بازه‌های ساعتی ۰ تا ۴ و ۴ تا ۶). (P<0.0001).

با توجه به میزان فلانونئیدهای موجود در این عصاره، ممکن است حضور این دسته ترکیبات مکانیسم احتمالی در مواجهه با سرطان ملانوما باشد. از محدودیت مطالعه می‌توان از عدم بررسی mtt جهت بررسی سمیت عصاره با روش دیگر نام برد. این مطالعه، پیشنهاد می‌کند که عصاره از لحاظ فیتوشیمیایی به صورت پیشرفتی مورد ارزیابی قرار گیرد و هم‌چنین اثر آن در شرایط *in vivo* ارزیابی شود.

References

1. Matthews NH, Li W-Q, Qureshi AA, Weinstock MA, Cho E. Epidemiology of melanoma. In: Exon Publications. 2017:3-22. PMID: 29461782.
2. Obrador E, Liu-Smith F, Dellinger RW, Salvador R, Meyskens FL, Estrela JM. Oxidative stress and antioxidants in the pathophysiology of malignant melanoma. Biol Chem 2019; 400(5): 589-612. PMID: 30352021.
3. Urs S. B16-F10. A Murine Melanoma Model. Princeton: Covance; 2019.
4. Afzali M, Mirzaei M, Saadati H, Mazloomi-Mahmood-Abadi S S. Epidemiology of skin cancer and changes in its trends in Iran. Feyz Med Sci J 2013; 17 (5) :501-511. (Persian).
5. Farshidfar F, Rhissorakrai K, Levovitz C, Peng C, Knight J, Bacchicchi A, et al. Integrative molecular and clinical profiling of acral melanoma links focal amplification of 22q11.21 to metastasis. Nat Commun 2022; 13(1):1-16.
6. Nakamura K, Yoshikawa N, Yamaguchi Y, Kagota S, Shinozuka K, Kunitomo M. Characterization of mouse melanoma cell lines by their mortal malignancy using an experimental metastatic model. Life Sci 2002; 0(7): 791-798. PMID: 11833741.
7. Akbari F, Azadbakht M, Bagheri A, Vahedi L. In Vitro and In Vivo Wound Healing Activity of *Astragalus floccosus* Boiss. (Fabaceae). Adv Pharmacol Pharm Sci 2022; 2022: 7865015. PMID: 35392504.
8. Avicenna H. Ghanoon Dar Teb [The Canon of Medicine], Bulaq Edition. Sharafkandi A, translator. Tehran: University of Tehran Press; 1978.
9. Wang P, Wang Z, Zhang Z, Cao H, Kong L, Ma W, et al. A review of the botany, phytochemistry, traditional uses, pharmacology, toxicology, and quality control of the *Astragalus membranaceus*. Front Pharmacol 2023; 14: 1242318. PMID: 37680711.
10. Faradiba F. Spectrophotometric determination of total flavonoid content in *Biancaea Sappan* (*Caesalpinia sappan* L.) leaves. J Fitofarmaka Indones 2021; 8(3):1-4.

11. Akbari F, Azadbakht M, Bagheri A, Vahedi L. In vitro and in vivo wound healing activity of *Astragalus Floccosus* Boiss. (Fabaceae). *Adv Pharmacol Pharm Sci* 2022; 2022: 7865015. PMID: 35392504.
12. Seif EJM, de França LP, de Oliveira FF, de Oliveira RA, Chaves ALF, Silva LAM, et al. Antioxidant and cytotoxic activity of *diplostropis incexis rizzini* & a. Matto's seed oil in b16-f10 murine melanoma. *Braz J Dev* 2021;7(11):106838-106856.
13. Felician FF, Yu R-H, Li M-Z, Li C-J, Chen H-Q, Jiang Y, et al. The wound healing potential of collagen peptides derived from the jellyfish *Rhopilema esculentum*. *Chin J Traumatol* 2019; 22(1): 12-20. PMID: 30827814.
14. Liang C-C, Park AY, Guan J-L. In vitro scratch assay: a convenient and inexpensive method for analysis of cell migration in vitro. *Nat Protoc* 2007; 2(2): 329-333. PMID: 17406593.
15. Youn M-J, Kim J-K, Park S-Y, Kim Y, Park C, Kim ES, et al. Potential anticancer properties of the water extract of *Inontus obliquus* by induction of apoptosis in melanoma B16-F10 cells. *J Ethnopharmacol* 2009; 121(2): 221-228. PMID: 19041933.
16. Jayakumar T, Chiu C-C, Wang S-H, Chou D-S, Huang Y-K, Sheu J-R. Anti-cancer effects of CME-1, a novel polysaccharide, purified from the mycelia of *Cordyceps sinensis* against B16-F10 melanoma cells. *J Cancer Res Ther* 2014; 10(1): 43-49. PMID: 24762485.
17. Gao F, Huang G, Xiao J. Chalcone hybrids as potential anticancer agents: Current development, mechanism of action, and structure-activity relationship. *Med Res Rev* 2020; 40(5):2 049-2084. PMID: 32525247.
18. Zheng Y, Wang H, Yang M, Peng G, Dong TTX, Xu ML, et al. Prenylated flavonoids from roots of *Glycyrrhiza uralensis* induce differentiation of B16-F10 melanoma cells. *Int J Mol Sci* 2018; 19(8): 2422. PMID: 30115883.
19. Bhari N, Schwaertz RA, Apalla Z, Salerni G, Akay BN, Patil A, et al. Effect of estrogen in malignant melanoma. *J Cosmet Dermatol* 2022; 21(5): 1905-1912. PMID: 34416066.
20. Hamidi MR, Jovanova B, Panovska TK. Toxicological evaluation of the plant products using Brine Shrimp (*Artemia salina* L.) model. *Maced Pharm Bull* 2014;60(1):9-18.
21. Vajrabhaya L-O, Korsuwannawong S. Cytotoxicity evaluation of a Thai herb using tetrazolium (MTT) and sulforhodamine B (SRB) assays. *J Anal Sci Technol* 2018; 9(1):15.
22. Zubair M, Ekholm A, Nybom H, Renvert S, Widen C, Rumpunen K. Effects of *Plantago major* L. leaf extracts on oral epithelial cells in a scratch assay. *J Ethnopharmacol* 2012; 141(3):825-830. PMID: 22465512.